

УДК 541.135.5

## ПРОТОННЫЕ ПОЛУПРОВОДНИКИ

В.Н. Маслов, Ю.А. Зотов, В.Н. Лиходед

## § I. Явления протонной полупроводимости

Одним из возможных направлений работы по созданию вычислительных сред является проведение исследований в области биологических систем и, в частности, изучение протонных полупроводников.

Сама по себе мысль об участии полупроводниковых явлений в биологических процессах не нова. Вопрос о биологическом значении полупроводимости Сент-Дьердь поднимал еще в 1941 году [1]. Академик А.Ф. Иоффе [2] в 1957 году отмечал, что наиболее ответственные органы живого организма представляют собой многослойную структуру из электронных и ионных проводников тока. При определенном подборе таких слоев в них накапливаются электрические заряды, создающие мощные электрические силы воздействия. Небольшие изменения химического состава приводят в таких структурах к резким изменениям электрических сил. Возможно, таким образом, что полупроводники играют немаловажную роль в жизненных процессах. Новое понимание механизмов этих процессов может привести к новым способам воздействия на них.

Однако природа полупроводниковых свойств биомолекул и биоструктур исследована еще очень мало, хотя получены доказательства, что очень большое число молекул биологически важных ве-

ществ обнаруживают полупроводниковые свойства как в кристаллическом, так и в аморфном состоянии, в частности, белки и липиды [3]. Полупроводниковыми свойствами обладают также определенным образом организованные системы, например, хлоропласты и палочки сетчатки [4]. Отмечена также тесная связь явления полупроводимости со свободно-радикальными состояниями и с процессом переноса заряда в клеточных мембранах [5].

Имеющиеся данные позволяют констатировать следующее:

Во-первых, в биологических полупроводниках установлено наличие существенного вклада протонной проводимости (наряду с механизмом электронной и дырочной проводимости) [4,6].

Во-вторых, важную роль в полупроводниковых явлениях играет вода. Молекулы воды, входящие в состав гидратной оболочки белков и ряда других высокополимеров, проявляют свойства донора электронов, поставляющего электроны в зону электронной проводимости белка, а также обусловливают протонную проводимость посредством механизма Гrottусса [4] и по системе пептидно-водородных связей [7].

Проводимость в электронных и протонных полупроводниках, в отличие от металлов, имеет электрически сходный характер. И в том и в другом случае проводимость обусловлена возбужденным состоянием носителей заряда [32].

Концепция протонных полупроводников, развитая Шахиро-новым [8,9], позволяет дать качественное, а в ряде случаев количественное объяснение основных процессов диэлектрической поляризации и проводимости в воде, спирте и других веществах с межмолекулярными водородными связями. В энергетическом состоянии протона, образующего водородную связь, имеется следующие зоны: валентная; промежуточная, в которой образуются соединения типа  $\text{H}_3\text{O}^+$ ; зона протонных экзитонов (экспротонов) и, наконец, зона проводимости. На рис. I показано распределение перечисленных зон в протонных полупроводниках с межмолекулярной водородной связью на примере воды. В подобных веществах могут присутствовать различные ассоциации (например,  $\text{H}_3\text{O}^+$ ) и свободные протоны. Переход из состояния A в A' осуществляется за счет туннельного эффекта с частотой  $10^{12}$  -  $10^{13}$  сек<sup>-1</sup>, а переход из A в B сопровождается разрывом водородной связи. В тех случаях, когда после разрыва водородной связи протон не переходит в состояние C, ионы  $\text{H}_3\text{O}^+$  и  $\text{OH}^-$  легко рекомбинируют. Ре-

Зона проводимости

Промежуточный уровень

Валентная зона

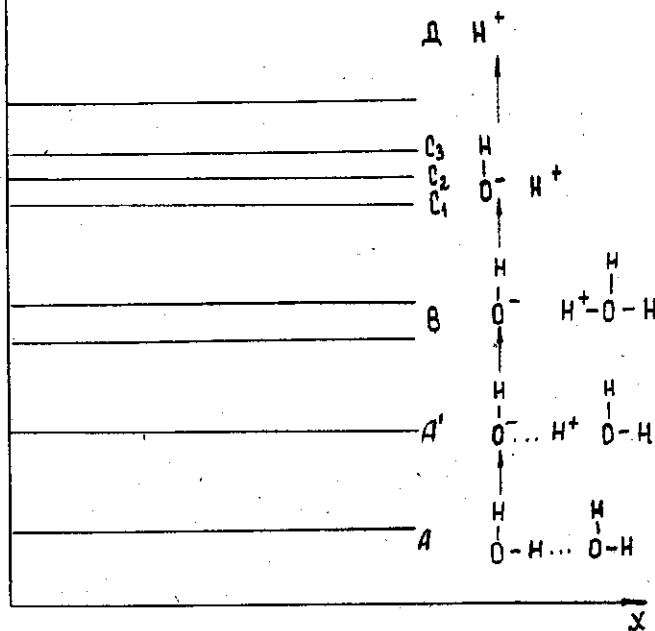


Рис. I. Схема энергетических уровней в протонных полупроводниках

комбинация возможна также путем туннельного эффекта, поэтому время существования  $H_3O^+$  не должно превышать  $10^{-13} - 10^{-14}$  сек. Переход протона из В в С связан с преодолением потенциального барьера, причем энергия активации его в жидкой фазе обычно составляет 2 - 5 ккал/моль (0,09-0,2 эв.). Переход протона из зоны С в зону проводимости связан с незначительной затратой энергии (порядка 2 кТ).

В зоне проводимости протоны приобретают ряд свойств, сходных со свойствами носителей зарядов в электронных полупровод-

никах. Протоны и дефекты протонов в молекулярной структуре воды (ионы  $OH^-$ ,  $2O^-$  и т.д.) обнаруживают аномально высокую подвижность; концентрация протонов экспоненциально зависит от обратной абсолютной температуры. Можно полагать, что протоны в зоне проводимости образуют протонный газ. Лармур и Сирта развили теорию [10, II], в которой подвижность протонов рассматривается аналогично подвижности свободных электронов в металле, и получили в согласии с экспериментом изотоничное отношение подвижностей ионов  $H^+$  и  $D^+$ , равное  $\sqrt{2}$ .

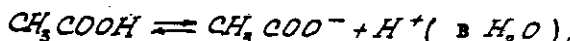
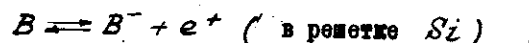
Следует отметить, что теория протонных полупроводников не получила сколько-нибудь существенного развития со времени опубликования работ Махаронова (1963-1964 гг.). Рассмотренная выше модель энергетических зон в протонных полупроводниках является лишь первым приближением. Современно отсутствует в литературе обсуждение зонной структуры водных растворов электролитов, которые могут считаться легированными протонными полупроводниками.

Поэтому до сих пор широко используется качественная аналогия между явлением электронно-дырочного равновесия в электронных полупроводниках и явлением кислотно-основного равновесия в протонных полупроводниках.

Так, добавление к воде кислоты (донара протона) повышает концентрацию  $H^+$ , одновременно снижая концентрацию  $OH^-$ . Значение константы ионизации  $K_w$  при этом остается постоянным. То же самое происходит и при легировании электронных полупроводников, где добавление донорной примеси увеличивает концентрацию электронов и уменьшает концентрацию дырок при сохранении постоянства произведений концентраций носителей заряда.

Таким образом, термины "n-типа" и "p-типа" проводимости становятся аналогами терминов основной и кислотной, и нейтрализация кислоты щелочью - аналог процесса компенсации акцепторной примеси донорной.

Энергии ионизации для многих слабых кислот, так же как и энергии ионизации многих акцепторов в германии, лежат в диапазоне 0,01 - 0,1 эв. Например, для реакций



Соответствующие значения ионизации равны:

$$\Delta H_B^\circ = 100 \text{ кал} = 0,043 \text{ эв},$$
$$\Delta H_{CH_3COOH}^\circ = 4000 \text{ кал} = 0,17 \text{ эв}.$$

Следует отметить, что доля ионизированных доноров и акцепторов в полупроводниках зависит от положения уровня Ферми аналогично тому, как степень диссоциации в водном растворе является функцией РН последнего.

Список аналогий может быть продолжен, однако нужно указать и на существенное различие между электронными полупроводниками и растворами электролитов, заключающееся в том, что ионизированные доноры и акцепторы в полупроводниковых кристаллах неподвижны, в то время как ионы, образующиеся при диссоциации кислот и оснований, свободно перемещаются в объеме раствора. Можно отметить также значительное различие в подвижностях носителей зарядов и различие молекулярных процессов транспорта электронов и протонов [12]. Сопоставление электрофизических параметров, определяющих полупроводниковые свойства герmania и воды, представлено в обзоре [13].

Для реализации полупроводниковых свойств воды необходимым условием является разделение ионов на неподвижные, формирующие внутреннее электрическое поле, и подвижные носители заряда, т.е.  $H^+$  и  $OH^-$ . Основой для этого может служить применение кислот и оснований, имеющих малоподвижный радикал. К числу таких химических соединений могут быть отнесены высокомолекулярные и полимерные кислоты и основания, например, алкилопроизводные фосфорной, фосфиновой и сульфокарбоновой кислот, и производные высокомолекулярных аминов, в частности, ионообменные смолы.

Было отмечено, что контакт двух мембран, изготовленных, соответственно, из катионообменной и анионообменной смол и насыщенных ионами  $H^+$  и  $OH^-$  [14,15], имеет сходство с р-п - переходом в электронных полупроводниках, т.е. подобный контакт можно классифицировать как  $[H^+]-[OH^-]$ -переход на основе полупроводников с протонной проводимостью.

Действительно, при надложении внешнего электрического поля наблюдается асимметрия электропроводности, т.е. эффект выпрямления электрического тока. Простейшая модель  $[H^+]-[OH^-]$ -пе-

рехода объясняет явление тем, что проводящему направлению соответствует движение носителей  $H^+$  и  $OH^-$  вавстречу друг другу и рекомбинации их на поверхности раздела ионитовых мембран. При запорном направлении носители зарядов отталкиваются от границы разделов, образуя зону, объединенную носителями зарядов. Ионы пары  $H^+$  и  $OH^-$  будут при этом возникать только за счет термической диссоциации воды. Статистические вольт-амперные характеристики контакта ионитовых мембран опубликованы во многих работах [15,16,17]. Согласно теории, развитой Секо и Ямабе, а также другими исследователями [15,16,17,18,19,31], ток через  $[H^+]-[OH^-]$ -контакт удовлетворительно описывается уравнением:

$$i = e \left( \frac{D_n \cdot n_A}{L_n} - \frac{D_m \cdot m_A}{L_m} \right) \left[ \exp \left( \frac{eV}{kT} \right) - 1 \right], \quad (I)$$

где индекс  $n$  относится к протонам, а  $m$  - к ионам гидроксила.  $L_n$  и  $D_n$  - диффузионная длина и коэффициент диффузии протонов в анионитной области;  $L_m$  и  $D_m$  - соответствующие величины для иона гидроксила;  $n_A$  и  $m_A$  - концентрации протона и гидроксила в анионитной области. Это уравнение аналогично уравнению Нокли для полупроводников р-п-перехода и отражает диффузионные процессы, происходящие в  $[H^+]-[OH^-]$ -переходе ионитовых мембран.

До настоящего времени на ионитовых ячейках не удалось получить значительного выпрямляющего эффекта и хорошей воспроизводимости, хотя еще в одной из своих первых работ Лавричек, Дессниц и Бокрис [15] описали ячейку из нескольких последовательно соединенных ионитных мембран, коэффициент выпрямления которой достигал 85%.

Это объясняется тем, что вид вольт-амперной характеристики и значение коэффициента выпрямления зависит от многих физико-химических факторов, в частности от гомогенности мембран, от природы растворителя, от материала использованных электродов и от природы подвижных ионов - носителей заряда.

Ниже излагаются результаты экспериментальных исследований, выполненных авторами в этом направлении в институте "Гипредмет" и на кафедре полупроводниковых материалов в МИТХТ им. И.В. Ломоносова.

## § 2. Влияние физико-химических факторов на выпрямляющие свойства $[H^+]$ - $[OH^-]$ - контакта

Лунгер [17], сравнивая теоретически рассчитанные вольт-амперные кривые с экспериментальными, полагает, что их несоответствие можно объяснить ингомогенностью мембран. Слоистение в ингомогенных областях растворенных солей играет, по его мнению, роль резерва ионов, что не дает возможности получить достаточно высокого сопротивления в обратном направлении.

О степени гомогенности мембран можно судить по радиографическим отпечаткам аппликаторов мембран, используемых для создания ячейки.

Для измерения были выбраны ионитные мембранны: МА-101(анионитная) и МК-100 (катионитная).

Мембранны переводили в  $H^+$  и  $OH^-$ -форму выдерживанием их в 5%-ном растворах  $HCl$  и  $NaOH$ , а затем насыщали их радиоактивными изотопами из растворов, содержащих приблизительно  $5 \mu Ci Tl^{204}$  и  $P^{32}$ , в течение 24 часов.

После насыщения мембранны тщательно отмывали дистиллированной водой до полного удаления ионов с поверхности, высушивали при  $40^\circ C$  и запаковывали в полиэтиленовые пакеты.

Радиографирование аппликаторов производилось на рентгеновскую пленку.

После получения радиографических отпечатков мембранны снова переводили в  $H^+$  и  $OH^-$ -форму, выдерживая, соответственно, в 5%-ном растворах  $HCl$  и  $NaOH$  в течение 60 часов, и затем отмывали дистиллированной водой.

За полной отмычки следили с помощью торцевого газореза - рядного счетчика со слайдовым оконечником БФ-25. Мембранны считаются отмытыми, когда скорость счета не превышала 15-20 имп/мин.

Из подготовленных таким образом мембранны вырезали образцы размером 2 x 2 см, из которых собирался выпрямляющий элемент. Устройство последнего представляет собой ячейку из органического стекла, в которой между электродами из нержавеющей стали захвачивались катионитная и анионитная мембранны. Электроды присоединялись к измерительному прибору для снятия статистических вольт-амперных характеристик.

Влияние ингомогенности на вид вольт-амперной характеристики

ки изучали, составляя ячейку из одной и той же катионитной мембранны с достаточно равномерным расположением сорбированных ионов и разных анионитных мембранны, степень ингомогенности которых качественно оценивалась на основании радиоавтографов.

Сравнивая радиоавтографы, характеризующие степень ингомогенности отдельных участков анионообменной мембранны, с полученным вольт-амперными характеристиками, можно заметить, что проводимость мембранный ячейки зависит от равномерности распределения фиксированных ионообменных групп.

Чем меньше степень ингомогенности использованных мембранны, тем значительней выпрямляющий эффект мембранныго ионитного элемента [24].

Одной из важнейших характеристик ионитных мембрани является селективность или способность мембрани быть проницаемой только для ионов одного знака.

Была сделана попытка проверить, не влияет ли этот фактор на проводимость ионитного мембранныго элемента.

Результаты измерения селективности мембрани представлены в табл. I.

Для всех возможных комбинаций анионитных и катионитных мембрани были сняты вольт-амперные характеристики и затем рассмотрены значения коэффициентов выпрямления при одном значении напряжения (0,6в).

### Селективность мембрани

Таблица I

Анионит	Селект.,%	Катионит	Селект.,%
МА-100	98	МК-100	43
МА-101	99	МК-60	63
МН-2	93,3	МК-101	41

На основании полученных данных была составлена табл.2, в которой значения коэффициентов выпрямления располагаются в порядке возрастания их численного значения. Данные табл.2 свидетельствуют о том, что селективность катионита не оказывает вли-

яния на коэффициент выпрямления. Можно отметить некоторое влияние на эффект выпрямления природы анионита, хотя все аниониты имеют почти 100%-ную селективность.

Так, все катиониты в паре с анионитами марки МА-100 дают значительно более высокие значения коэффициентов выпрямления, чем в случае использования анионита марки МН-2.

### Коэффициенты выпрямления

Таблица 2

№/п	Анионит	Селект., %	Катионит	Селект., %	К-коф. выпрям.
1.	МА-1000	98	МК-100	43	150
2.	МА-100	98	МК-40	63	70
3.	МА-100	98	МК-60	41	70
4.	МА-100	98	МК-101	63	28
5.	МА-100	98	МК-101	63	25
6.	МА-101	99	МК-60	41	19
7.	МА-101	99	МК-100	43	7,3
8.	МА-101	99	МК-40	63	6
9.	МН-2	93,3	МК-60	41	4
10.	МН-2	93,3	МК-100	43	4
11.	МН-2	93,3	МК-101	63	2,4
12.	МН-2	93,3	МК-40	68	2,0

Одним из главных недостатков  $[H^+] - [OH^-]$ -контактов на основе ионитных мембран является слабая воспроизводимость вольт-амперных характеристик. Возможной причиной этого является нестабильность условий соприкосновения катионитной и анионитной мембран. Для выяснения роли этого фактора исследовали влияние степени сжатия мембран на вольт-амперные характеристики  $[H^+] - [OH^-]$ -контакта. Силу сжатия изменяли в пределах от  $0,26 \times 10^4 \text{ Н/м}^2$  до  $10,45 \times 10^4 \text{ Н/м}^2$  наложением груза на ионитную ячейку. Как видно из рис. 2, характер вольт-амперной кривой заметно изменяется в зависимости от нагрузки, прижимающей мембранны друг к другу. С увеличением нагрузки до определенного значения ( $10 \times 10^4 \text{ Н/м}^2$ ) сила тока в прямом направлении растет быстрее, чем

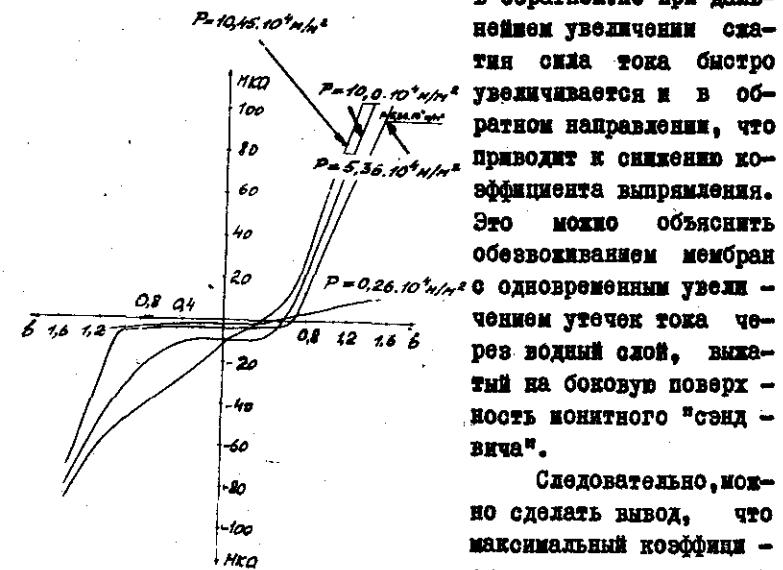


Рис.2. Зависимость формы вольт-амперных кривых  $[H^+] - [OH^-]$ -контакта от нагрузки, сжимающей мембранны.

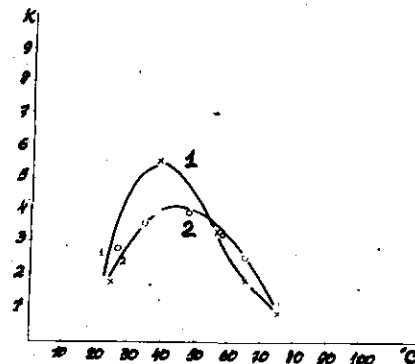
в обратном. Но при дальнейшем увеличении сжатия сила тока быстро увеличивается и в обратном направлении, что приводит к снижению коэффициента выпрямления. Это можно объяснить обезвоживанием мембран с одновременным увеличением утечек тока через водный слой, выжатый на боковую поверхность ионитного "сэндвича".

Следовательно, можно сделать вывод, что максимальный коэффициент выпрямления соответствует некоторой определенной силе сжатия мембран (в пределах нагрузки от  $5 \times 10^4$  до  $10 \times 10^4 \text{ Н/м}^2$ ).

Катионитные и анионитные мембранны довольно устойчивы при повышенных температурах. Повышение температуры приводит к изменению степени диссоциации электролита и набухаемости мембран.

С повышением температуры скорость установления равновесия при обмене ионов увеличивается. Аниониты менее устойчивы к действию повышенной температуры, что, по-видимому, обусловлено слабой устойчивостью четвертичных аммониевых оснований. Проведенные исследования показали, что мембранны марок МК-40, МК-100, МА-100 вполне стабильны в интервале температур от  $20^\circ\text{C}$  до  $100^\circ\text{C}$ .

На рис. 3 а, б представлена зависимость коэффициента выпрямления от температуры. Форма кривых свидетельствует о существовании температуры, при которой выпрямляющий эффект имеет



a)

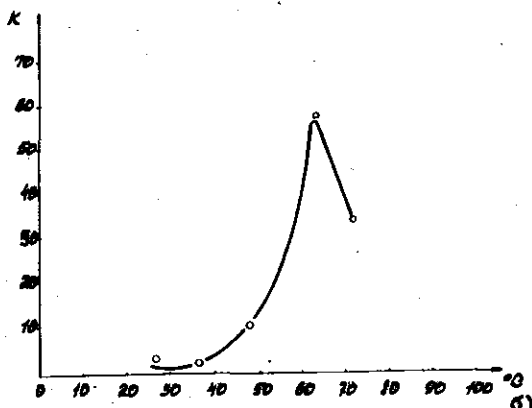


Рис.3. Зависимость коэффициента выпрямления  $[H^+]-[OH^-]$ -контакта от температуры.

a) Мембранны: анионит MA-100, катионит MK-40. Напряжение смещения - 0,6 в.

б) Мембранны: анионит MA-100, катионит MK-100. Напряжение смещения - 0,6 в.

максимальное значение. На рис.3, а максимум, положение которого зависит от природы ионитных мембран, лежит вблизи  $40^{\circ}\text{C}$ .

Например, для другой пары мембран (рис.3, б) максимум сдвинут до  $60^{\circ}\text{C}$ . Появление максимума коэффициента выпрямления при изменении температуры не имеет простого объяснения и нуждается в специальном исследовании. Можно сказать, что этот эффект в определенной мере связан с перестройкой структуры воды.

Известно, что природа растворителя влияет на адсорбционные процессы, происходящие в ионитах. Так, например, с увеличением содержания спирта в водно-спиртовом растворе уменьшается набухаемость и одновременно увеличивается емкость и селективность ионитов.

тивность ионообменной смолы [25].

Нами было исследовано влияние ряда предельных спиртов на выпрямляющий эффект ионитового мембранных элемента [26]. В опытах были использованы мембранны MA-101, MA-41, MK-40, MK-100, из которых были отобраны образцы с лучшей гомогенностью. Химическая подготовка мембран заключалась в переводе их в соответствующую ионную форму  $H^+$  или  $OH^-$ . Для этого анионитные мембранны выдерживали в течении 60 часов в 5%-ном спиртовом или водных растворах  $NaOH$ , а катионитные - обрабатывали растворами  $HCl$  такой же концентрации. После насыщения производили отмыкание по индикатору от избытка щелочи или кислоты дистиллированной водой или спиртами, соответственно. Все измерения были проведены с постоянной силой сжатия мембран, равной  $2,5 \times 10^4 \text{ н/м}^2$ . Для предупреждения высыхания мембранный элемент тщательно герметизировался.

Как видно из рис. 4, характер вольт-амперной кривой зависит от природы используемого растворителя, причем наибольшая проводимость как в прямом, так и в обратном направлениях наблюдается в случае применения в качестве растворителя воды (кривая 1); наименьшая проводимость соответствует пропану (кривая 4).

Следует отметить, что это находится в согласии с величинами диэлектрических постоянных для этих веществ.

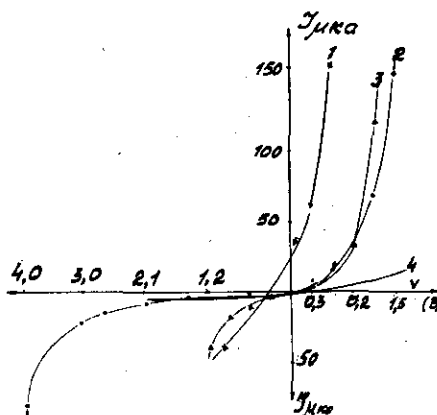


Рис.4. Зависимость вольт-амперной характеристики от природы растворителя:  
1)  $H_2O$ ; 2)  $CH_3OH$ ; 3)  $CH_3CH_2OH$ ;  
4)  $CH_3CH_2CH_3OH$ .

Наибольший интерес вызывает вольт-амперная зависимость,

полученная при использовании в качестве растворителя метанола (кривая 2). В этом случае наблюдается очень низкая электропроводность в запорном направлении при значительной проводимости в прямом, что выгодно отражается на постоянном прямого и обратного токов, причем пробой в обратной ветви наступает при значительно большем напряжении, достигающем трех вольт. Низкую электропроводность в запорном направлении можно объяснить уменьшением подвижности ионов, ответственных за перенос тока при переходе от воды к органическим растворителям.

Изучение влияния на вольт-амперную характеристику  $[H^+]$ - $[\text{OH}^-]$ -контакта таких факторов, как ингомогенность ионообменных мембран, селективность мембран, сила скатия мембран в ячейке, температура и природа растворителей - позволило оптимизировать условия работы выпрямительной ячейки и поднять величину коэффициента выпрямления практически до 100.

### § 3. Определение характеристических параметров из анализа вольт-амперных кривых

Основными характеристическими параметрами полупроводников являются ширина запрещенной зоны, время жизни неосновных носителей, значения подвижности носителей заряда.

В работе [16] авторы приходят к выводу, что, применяя методы физики твердого тела, можно понять свойства носителей заряда в данной конкретной системе. В частности, на основе теории Нокли, предложенной для кристаллических полупроводников, можно определить ширину запрещенной зоны протонного полупроводника и время жизни неосновных носителей заряда, используя данные по температурной и вольт-амперной зависимостям  $[H^+]$ - $[\text{OH}^-]$ -контакта мембран.

Как известно, генерационно-рекомбинационная составляющая обратного тока р-п-перехода кристаллического полупроводника пропорциональна напряжению в степени  $I/2$ ,  $I = U^{1/2}$  [27], следовательно, в двойном логарифмическом масштабе вольт-амперная характеристика должна выражаться прямой с углом наклона, равным  $I/2$ .

Обратные ветви вольт-амперных кривых ионитного мембранныго

элемента, составленного из мембран МК-100 и МА-101 в среде метилового спирта, были построены в двойном логарифмическом масштабе при разных температурах [26]. Наклон кривых не является постоянным и изменяется в пределах от 0,5 до 2, причем наибольшее значение соответствует более высокому напряжению на электродах.

При постоянном напряжении обратный ток р-п-перехода в кристаллическом полупроводнике выражается зависимостью

$$I = T^{3/2} \exp \frac{E_t - \Delta E/2}{kT}, \quad (2)$$

где  $E_t$  - энергия активации генерационно-рекомбинационных центров,  $\Delta E$  - ширина запрещенной зоны.

В координатах  $UT^{3/2} - 1/T$  эта зависимость дается прямой при разных потенциалах на электродах, причем тангенс угла наклона определяется шириной запрещенной зоны и величиной энергии активации генерационно-рекомбинационных центров.

Величина  $E_t - \Delta E/2$  для контакта ионитных мембран оказалась равной примерно 0,06 эв.

Ширину запрещенной зоны для метанола можно предположить равной его термодинамическому потенциальному [28]. Для метанола величина  $\Delta E$  может быть оценена в 1 эв. В этом случае энергия активации генерационно-рекомбинационных уровней равна 0,55 эв.

Согласно теории Саа-Нойса-Нокли [29], прямая ветвь вольт-амперной кривой р-п-перехода кристаллического полупроводника в области приложенных напряжений, превышающих  $kT/e$ , должна состоять из двух экспоненциальных участков

$$I = I_1 e^{\frac{eV}{kT}} + I_2 e^{\frac{ekV}{kT}}, \quad (3)$$

где первое слагаемое соответствует диффузионному, а второе - генерационно-рекомбинационному токам.

При температуре 26°C прямая ветвь вольт-амперной кривой контакта ионитных мембран состоит из двух экспоненциальных участков, угол наклона которых при более низких напряжениях пропорционален  $\frac{e}{2kT}$ , а при более высоких -  $\frac{e}{kT}$  [26]. По

аналогии с кристаллическими полупроводниками первая экспонента должна соответствовать генерационно-рекомбинационному, вторая - диффузионному токам.

Проведенные эксперименты показывают, что вольт-амперная кривая контакта разностных мембран описывается уравнениями, выведенными для р-п-перехода кристаллического полупроводника. В этом случае представляет определенный интерес исследования рекомбинационных процессов в  $[H^+]$  -  $[OH^-]$ -контакте ионообменных мембран с использованием теории р-п-перехода Саа-Нойса-Шокла [29].

При изучении рекомбинационных характеристик в качестве модели принимается р-п-переход, в котором концентрация основных носителей тока на границах слоя объемного заряда равна  $n_A(\frac{W}{2}) = n_A(\frac{W}{2})$ , эффективные длины диффузии неосновных носителей -  $L_m = L_n = L_i$ , и существует только один сорт рекомбинационных уровней, совпадающих с уровнем Ферми в полупроводнике с собственной проводимостью.

Рекомбинационный ток неосновных носителей складывается из тока  $J_{rq}$ , обусловленного рекомбинацией носителей в слое объемного заряда, и тока  $J_{rd}$ , обусловленного рекомбинацией в областях "р" и "п". В интервале значений напряжения  $\varphi_r < \psi < \psi_c$  ток  $J_{rd} < J_{rq}$ .

Согласно [30], рекомбинационный ток в слое объемного заряда в этом случае может быть описан уравнением:

$$J_{rq} = \frac{q \cdot n_i \cdot L_i \cdot S}{\tau_0} e^{\frac{\psi}{2\varphi_r}}, \quad (4)$$

причем

$$L_i = \frac{\varphi_r}{E_m} \quad (5)$$

$$E_m = \frac{8(\psi_c - \psi)}{(8-1)W} \quad (6)$$

$$W = \frac{\epsilon \epsilon_0 \cdot S}{C} \quad (7)$$

где  $q$  - заряд электрона,

$\tau_0$  - время жизни неосновных носителей заряда,

$S$  - площадь р-п-перехода,

$\psi$  - приложенное напряжение,

$L_i$  - эффективная длина диффузии неосновных носителей заряда,  
 $\varphi_r$  - термический потенциал,  
 $E_m$  - максимальная напряженность электрического поля в слое объемного заряда,  
 $W$  - ширина слоя объемного заряда,  
 $\psi_c$  - контактная разность потенциала.

В работе использовались мембранны: катионитовая МК-100, анионитовая МА-100, в форме  $H^+$  и  $OH^-$ , соответственно, в среде метанола.

Измерения проводились при постоянной силе сжатия, равной  $2,5 \times 10^4 \text{ Н/м}^2$ .

Электрическую емкость  $[H^+]$  и  $[OH^-]$ -контакта двух мембран определяли при разных частотах измеряющего тока и различных значениях напряжения смещения в прямом и обратном направлениях. Зависимости емкости от частоты в координатах  $\ln C = f(\psi)$  имеют линейный характер при напряжениях смещения от 0,05 до 0,5 в.

При экстраполяции полученных прямых до  $\psi = 0$  они отсекают на оси ординат значение  $\ln C$  при ( $\psi = 0$ ), соответствующее значению емкости  $[H^+]$  -  $[OH^-]$ -контакта при различных напряжениях смещения.

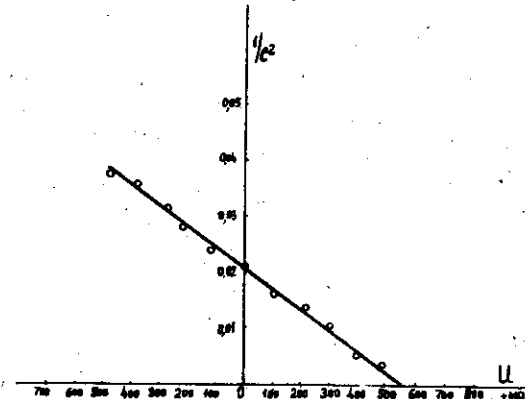


Рис. 5. Зависимость электрической емкости  $[H^+]$  -  $[OH^-]$ -контакта мембран МК-100 и МА-100 от напряжения смещения.

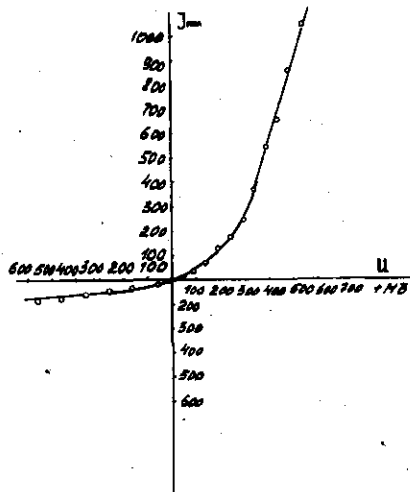


Рис.6. Вольт-амперная зависимость  $[H^+]-[OH^-]$ -контакта мембраны МК-100 и МА-100 от напряжения смещения.

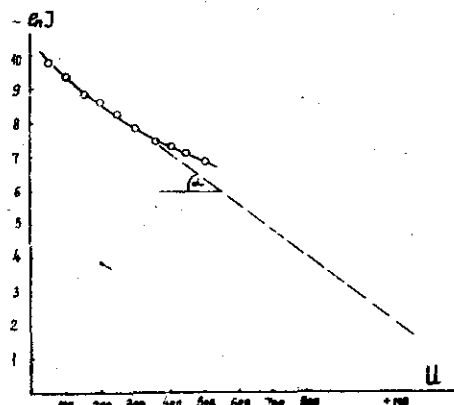


Рис.7. Прямая ветвь вольт-амперной характеристики  $[H^+]-[OH^-]$ -контакта мембран МК-100 и МА-100 в полулогарифмическом масштабе.

Емкость  $[H^+]-[OH^-]$ -контакта мембран при увеличении прямого напряжения смещения увеличивается, а при увеличении обратного напряжения уменьшается, что соответствует поведению емкости р-п-перехода в электронно-дырочном переходе.

На графике (рис.5) прямая отсекает на оси абсцисс отрезок, пропорциональный разности контактной разности потенциала ( $U_k = 0,57$  в), а наклон этой же прямой определяет характер перехода.

Вольт-амперная зависимость  $[H^+]-[OH^-]$ -контакта мембран представлена на рис.6. Из прямой ветви вольт-амперной зависимости в полулогарифмическом масштабе выбираем рабочий диапазон значений токов, обусловленных рекомбинацией носителей в слое объемного заряда, что соответствует значению угла наклона  $\alpha = 1/2$  (рис.7).

Определив в пределах рабочего диапазона значения токов ширину слоя объемного заряда по

формуле (7), эффективную длину диффузии по формуле (5), вычисляем по формуле (4) время жизни неосновных носителей заряда.

Величина среднего значения эффективной длины диффузии носителей оказалась равной  $2,4 \times 10^{-8}$  см., что совпадает с оценками других исследователей [16].

Время жизни неосновных носителей заряда  $\tau_0$  равна  $1,6 \times 10^{-8}$  сек, что согласуется по порядку величины с данными, приведенными в той же работе.

#### § 4. Перспективы создания новых приборов и устройств на основе протонных полупроводников

Успешная реализация выпрямительного эффекта в  $[H^+]-[OH^-]$ -контакте мембран привела к попыткам ряда авторов создать другие типы устройств.

Описан усилитель параметрического тока на основе двух мембранных диодов [20,21]. Осида и Иосида [22,23], используя ионообменные мембранны с адсорбированными фоточувствительными компонентами, создали фотогальваническую ячейку. Величина фототока при освещении ячейки ксеноновой лампой 150 вт оказалась неизначительной, но сам факт осуществления фотогальванического эффекта на ионитной ячейке свидетельствует о возможности создания и других светочувствительных устройств на основе протонных полупроводников.

Ямamoto [33] сообщил о создании двухэлектродной многослойной ионитной ячейки, состоящей из ионитных мембран, разделенных зонами растворов высокомолекулярных кислот или оснований. Ячейка обладала способностью выпрямлять электрический ток и генерировать колебания. Однако ни одна из этих работ не получила развития и, как показали наши собственные исследования, воспроизвести их оказалось чрезвычайно сложно.

Таким образом, проблему создания какого-либо активного элемента на основе протонных полупроводников, и в частности, с использованием ионообменных мембран в настоящее время нельзя признать решенной.

С достаточной ясностью выявилось, что прямое воспроизведение конструкций известных электронных приборов не может дать хороших результатов, имеющих практическое значение, по двум ос-

новыми причинами:

а) никакая подвижность несителей заряда в протонных полупроводниках и наличие побочных электрохимических процессов на электродах приводят к существенному ухудшению частотных и других характеристик устройств с ионными мембранными, вследствие чего они вряд ли смогут когда-нибудь конкурировать со своими прототипами, изготовленными на основе электронных полупроводниковых материалов;

б) сочетание ионной природы проводимости с жидким агрегатным состоянием среды приводит к ряду специфических эффектов, не имеющих аналогов или не используемых в современной технике полупроводниковых приборов.

Поясним это положение. Когда мембрана разделяет два раствора, могут действовать некоторые силы, вызывающие образование потоков молекул или ионов через мембрану. К числу этих движущих сил относятся:

- $\Delta \mu$  - разность химических потенциалов,
- $\Delta \varphi$  - разность электрических потенциалов,
- $\Delta P$  - разность давлений,
- $\Delta T$  - разность температур.

Отсюда следует, что в системах с полупроницаемыми мембранными большую роль играют электромагнитические явления (осмос + электроосмос) и гидравлические эффекты. В твердых же телах перепады давления компенсируются напряжениями деформации и не приводят к возникновению потоков вещества. В то же время в полупроводниковой технике, использующей твердое тело, широко применяются различные эффекты магнитного поля, тунNELльный эффект и электролюминесценция, потенциальное значение которых в области протонных полупроводников остается совершенно незученным.

Большой интерес представляют некоторые фундаментальные особенности систем на основе протонных полупроводников, могущие привести к новым техническим решениям:

Носители заряда имеют ионный характер и могут вступать в химическое взаимодействие или, наоборот, в водных растворах терять способность к рекомбинации. Таким образом, достигается уникальная широта диапазона времени жизни неосновных несущих заряда: от  $10^{-9}$  сек. (для протона и гидрокси-иона) до  $\infty$  (в случае перекомбинирующих противоионов, входящих в состав силь-

ных кислот и оснований).

К системе на основе протонных полупроводников энергия может подводиться не только в виде электрического тока, но и путем ввода в систему энергетически богатых химических соединений, что означает переход от локального к распределенному вводу энергии, и приводит к совмещению источника энергии со средой функционирования системы.

В отличие от используемых в технике полупроводниковых кристаллов, системы на основе протонных полупроводников (по крайней мере, некоторые из них) могут быть изготовлены при тех же значениях основных термодинамических параметров среды (в первую очередь, температуры и давления), которые необходимы и для их функционирования.

Совместимость условий создания и функционирования системы свидетельствует о принципиальной возможности установления обратной связи между процессами формирования и функционирования и, следовательно, о возможности создания самоорганизующих систем. Правильное понимание и использование специфических свойств протонных полупроводников и, в частности, систем с полупроницаемыми ионобменными мембранными несомненно позволит создать новые типы устройств, не имеющих аналогов среди приборов на основе электронных полупроводников.

Отметим, например, создание мембранных генераторов колебаний и разработки теории этого явления в работах Теорели [34, 35, 36]. Электролитическая ячейка с двумя электродами, разделенными мембраной, при подборе определенных условий входила в режим незатухающих электрических и гидравлических колебаний при условии одновременного действия трех движущих сил, а именно разности потенциалов  $\Delta \varphi$ , разности концентраций  $\Delta C$  и разности гидростатического давления  $\Delta P$ .

Результаты этих исследований были использованы для объяснения образования потенциалов действия и других явлений возбуждения [37] в живых клетках.

Отсюда следует, что разработка и исследование активных элементов на основе протонных полупроводников может явиться одним из путей создания логических ячеек типа нейристоров, а в дальнейшем сложных вычислительных систем или сред.

## Л и т е р а т у р а

1. SZENT-GYORGYI A. Nature, 148, 157 (1941).
2. НОФЕ А.Ф. Возможности и перспективы полупроводников. - серия "Полупроводники", ИДТИ, 1., 1957, вып.18, стр.II.
3. ROSENBERG B., JENDRACIK G. Chem. and Phys. Lipids, 2, 47-54 (1968), № 1.
4. ЗИН Д. Полупроводниковые свойства биологических мембран, - "Горизонты биохимии", М., "Мир", 1964, стр. 261-292.
5. ПИРУЗЯН Л.А., АРИСТАРХОВ В.М. Известия АН СССР, сер. биологическая, № 1, 69, 1969.
6. РИЛЬ Н.В. ИХХ, 29, 1537, 1955.
7. ГОЛОВАНОВ М.Б., БЫСКУНОВ А.К., СЕРГЕЕВ Н.М. Элементарное введение в квантовую химию, М., Наука, 1969, стр.214.
8. НАУМАРОНОВ М.И. Укр. физ. ж., 444, 1964.
9. НАУМАРОНОВ М.И. ИХХ, 38, 252, 1964.
10. DARMOIS, J.Phys.Radium, 2, 577, (1950).
11. DARMOIS, SUTRA.C. r. Acad. Sci., Paris, 222, 1286 (1946).
12. Современные аспекты электрохимии, под.ред. Дж.Бокриса и Б.Комуза. "Мир", М., 1967, стр.112.
13. МАСЛОВ В.Н., ЗОТОВ В.А. Успехи химии, 37, 510, 1968, № 4.
14. МАСЛОВ В.Н., ОВОДОВА А.В. ИХХ, 34, 413, 1960, № 2.
15. LOVRECEK B., DESPIC A., BOCKRIS O.M. J.Phys.Chem., 63, 750, (1959).
16. SENO M., YAMABE T. Bull. Chem.Soc. Japan, 37, № 5, 668, (1964).
17. VON P.LAUGER. Berl.Bunsen Ges., 68, 534, (1964), № 6.
18. SHINPEI OHKI: J.Phys.Soc.Japan, 20, 1674 (1965).
19. LOVRECEK B., KUNST B. Electrochim acta, 12, 678, (1967).
20. LOVRECEK B., KUNST B. Nature, 189, 804 (1961).
21. LOVRECEK B., KUNST B. Croatica chem acta, 35, 7, (1963).
22. OSCHIDA J., YOSCHIDA M. Japan J.Appl.Phys., 2, 439, 1963.
23. YOSCHIDA M., OSCHIDA J. Основы биокураторики 33, 34, 1964.
24. ЧЕРНОВ А.Н., МЕЛЬЧУК Н.А., МАСЛОВ В.Н., ЗОТОВ В.А. ДАН СССР 174, 895, 1967, № 4.
25. ГРИССКАХ Р. Теория и практика ионного обмена. М., М., 1963.
26. ЗОТОВ В.А., МАСЛОВ В.Н., ЧЕРНОВ А.Н., МЕЛЬЧУК Н.А., НУРАМОВА М.И., ДАН СССР, 183, 1371, 1968, № 6.
27. ГОРОДЕЦКИЙ А.Ф., КРАВЧЕНКО А.Ф. Полупроводниковые приборы, изд. "Высшая школа", М., 1967.
28. СЕМЕНКЕВИЧ С.А., ДАН СССР, 158, 442, 1964, № 2.
29. ZAH S.T., NOYSE R.H., SHOCH W. Proc.IRE, 45, 1957, № 9.
30. ИВАНОВА Е.А., НАСИЛЕВ Д.Н., НАРШКОВ Б.В., Радиотехника и электроника, 10, 703, 1964, № 4.
31. FRIDANDER H.Z. J.Polymer Sci., Part C. Polymer Simposial № 4, Paris, 1963, Part 2, p.1447 (1964).
32. НАУМТ С.С. Полупроводники в науке и технике, М-Л, АН СССР, т.1, 1957, стр.17.
33. YAMAMOTO K., KARAKI. 42, 831, 847 (1959).
34. TEORELL T., J.Gen. Physiol., 31, 265, 1961.
35. TEORELL T. Biophys. J. Suppl., 2, 27, 1962.
36. TEORELL T., Arkiv Kemi., 18, 401, 1961.
37. LAKSHMINARAYANAN N. Chem.Rev., 55, 492, 1965.

Поступила в редакцию  
19.XI.1969